

# ПОЛУЧЕНИЕ ВИДИМОГО ИЗОБРАЖЕНИЯ РАДИОИЗЛУЧЕНИЯ МИЛЛИМЕТРОВОГО ДИАПАЗОНА

*А.П.Бажулин, Е.А.Виноградов, Н.А.Ирисова, С.А.Фридман*

Получение видимых изображений в лучах радиоволн миллиметрового диапазона представляет собой важную физическую и техническую задачи. Решение этой задачи могло бы позволить осуществить получение и передачу изображений объектов в лучах радиоволн этого диапазона; помочь при изучении взаимодействия миллиметровых волн с различными веществами и объектами; существенно облегчить исследования по изучению структуры полей различных излучательных систем. Особенно

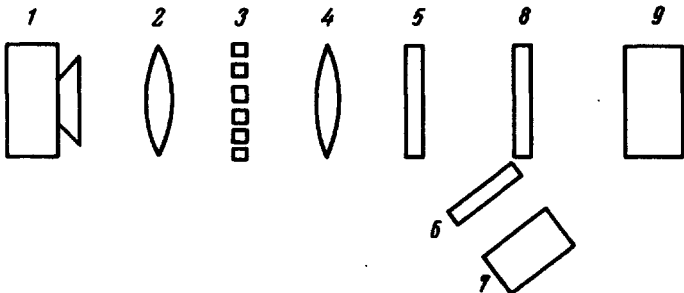


Рис. 1. Схема установки для наблюдения дифракционной картины на люминофорном экране: 1 – генератор с рупорной антенной; 2 – тефлоновая линза  $F = 60 \text{ мм}$ ,  $\phi 50 \text{ мм}$ ; 3 – дифракционная решётка с периодом  $d = 14 \text{ мм}$ ; 4 – тефлоновая линза  $F = 50 \text{ мм}$ ,  $\phi 50 \text{ мм}$ ; 5 – люминофорный экран; 6 – фильтр УФ-6; 7 – ртутная лампа ПРК-4; 8 – фильтр ЖС-18; 9 – фотоаппарат

надо отметить перспективность этого метода для моделирования электромагнитных полей крупногабаритных отражательных, рассеивающих и передающих систем, применяемых обычно в более длинноволновом диапазоне. В квазиоптических системах получение картины распределения сможет облегчить юстировку и настройку аппаратуры. Открываются также возможности для осуществления дефектоскопии и интроскопии в миллиметровом диапазоне.

Фотометрирование фотографических изображений, по-видимому, позволит получить количественные характеристики распределения полей.

Нами были получены видимые изображения распределения интенсивности электромагнитного поля излучения с длиной волны  $\lambda = 1,7 + 2,5 \text{ мм}$ .

и произведено его фотографирование. Изображения были получены при помощи специально изготовленного люминофора на основе ZnS и CdS, активированного серебром и никелем, который обладал термографическим эффектом (тумление люминесценции при нагревании люминофора).

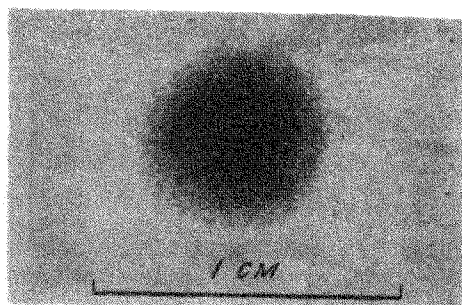


Рис. 2. Фотография сечения пучка излучения

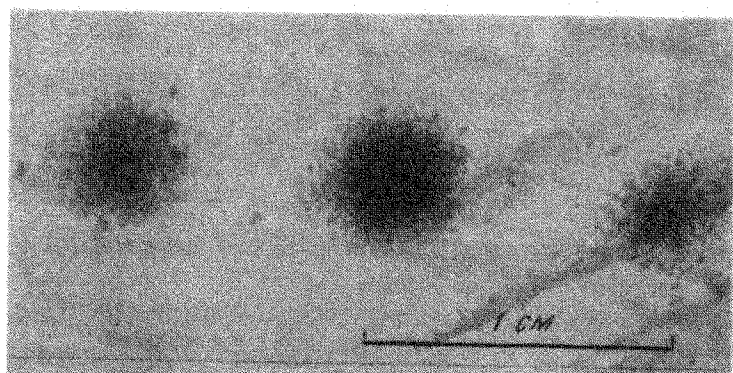


Рис. 3. Фотография дифракционного изображения.  
( $\lambda = 2,37 \text{ мк}$ ;  $d = 14 \text{ мм}$ )

Применение люминофоров, обладающих термографическим эффектом для визуализации инфракрасного излучения ( $\lambda = 1 + 28 \text{ мк}$ ) было недавно описано в литературе [1,2]. В этом диапазоне волн люминофор имеет значительный коэффициент поглощения. Однако в диапазоне коротких миллиметровых волн люминофор практически не поглощает, поэтому для осуществления его нагрева при облучении необходимо наносить его на поглощающую подложку, обладающую минимальными теплопроводностью и теплопроводностью. Такая поглощающая подложка была нами изготовлена из слюды толщиной менее 5 мк с напыленным слоем алюминия толщиной менее 1 мк. Площадь подложки была около  $2 \times 3 \text{ см}^2$ . Постоянная времени такого люминесцирующего экрана около 1 сек, а чувствительность порядка  $100 \text{ мвт/см}^2$ .

При возбуждении люминофорного экрана ультрафиолетовым излучением он светится ярким зеленым светом (максимум люминесценции при  $0,515 \text{ мкм}$ ). В местах падения радиоизлучения происходит нагрев люминофора, вызывающий тушение его свечения.

На рис. 1 изображена блок-схема установки, а на рис.2 и 3 приведены фотографии полученных нами изображений. Длина волны излучения  $2,37 \text{ мкм}$ , мощность порядка  $100 \text{ мвт}$  [3], экран находился при комнатной температуре и атмосферном давлении.

Рис. 2 представляет собой изображение сечения пучка излучения, сформированного тефлоновой линзой.

Рис. 3 – изображение излучения, прошедшего через дифракционную решетку с периодом  $d = 14 \text{ мкм}$ , расстояние между соседними максимумами на люминесцирующем экране равно  $8,5 \text{ мкм}$  (см. рис. 1). Вычислённая по дифракционной картине длина волны генератора равнялась  $\lambda = 2,33 \text{ мкм}$ , измеренная волномером  $\lambda = 2,37 \text{ мкм}$ .

В заключение авторы выражают благодарность академику А.М.Прохорову за постоянный интерес и поддержку в работе и доктору физ.-мат. наук Н.В.Карлову, обратившему наше внимание на термографический эффект у люминофоров.

Физический институт  
им. П.Н.Лебедева  
Академии наук СССР

Поступило в редакцию  
1 июля 1968 г.

### Литература

- [1] J. D. Mc Gee L. J. Heilos. IEEE J. Quant. Electr., QE- 3, № 1, 31, 1967.
- [2] I. J. Bridges, E. G. Burkhardt. IEEE J. Quant Electr., QE- 3, № 4, 168, 1967.
- [3] М.Б.Голант, Е.А.Зюлина, Т.Б.Реброва, С.Г.Янченко. Широкодиапазонный стабильный генератор повышенной мощности, работающий в коротковолновой части миллиметрового диапазона волн. Электронная техника, серия 1; Электроника СВЧ, вып.3, стр.96, 1968.